

# Stochastic tunneling in de Sitter Spacetime

D2 宮地大河 (神戸大)

w/ 早田次郎 (神戸大), 徳田順正 (CTPU)

Based on : arXiv:2309.××××

2023/8/28 熱場の量子論とその応用

# 目次

---

1. Motivation
2. Stochastic approach
3. Hawking-Moss tunneling
4. Coleman-de Lucia tunneling
5. Summary and future work

# 目次

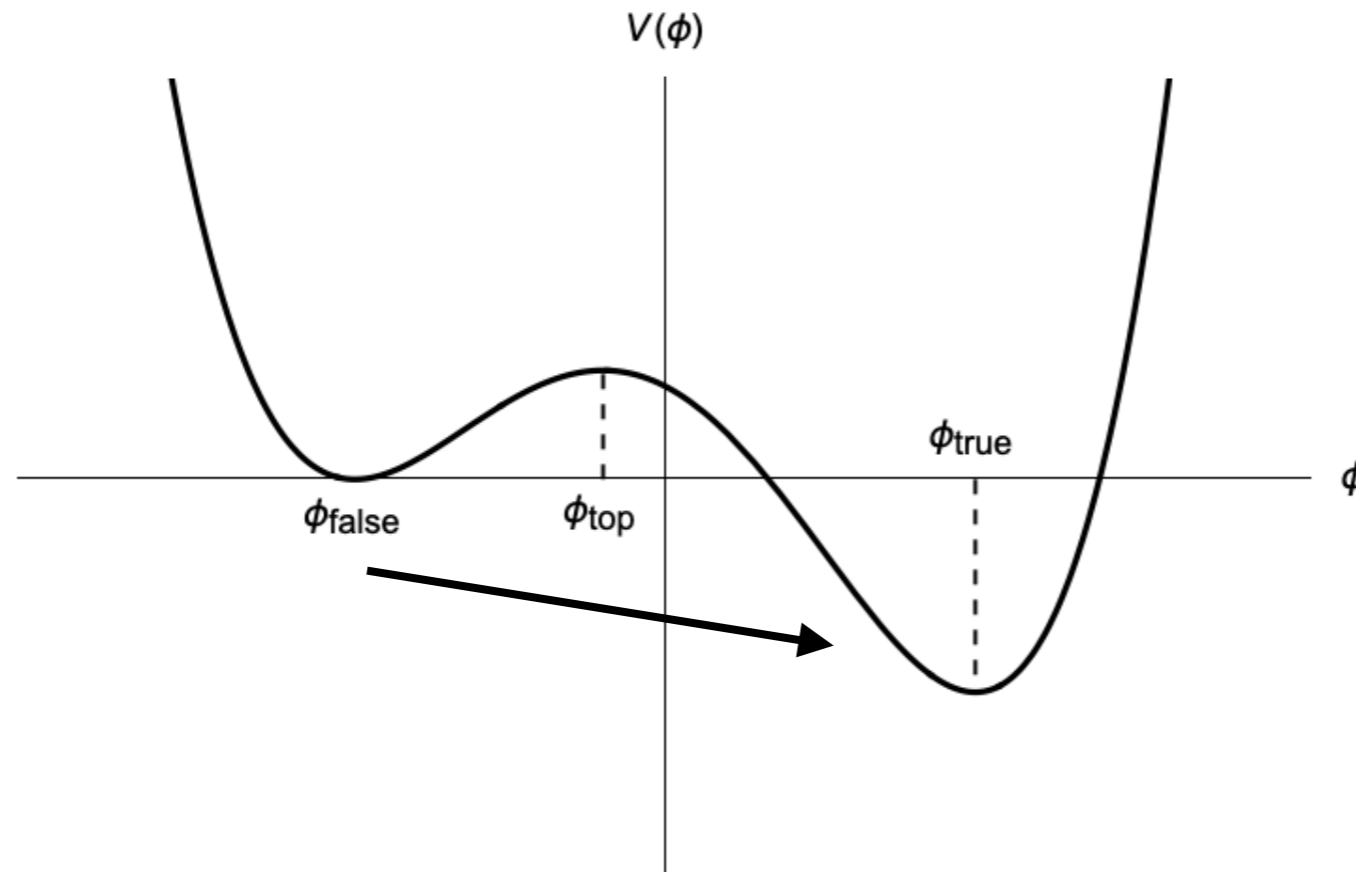
---

1. Motivation
2. Stochastic approach
3. Hawking-Moss tunneling
4. Coleman-de Lucia tunneling
5. Summary and future work

# 宇宙論におけるトンネリング

初期宇宙においてトンネリングは重要な非摂動現象

- バブル同士の衝突による重力波 [Kosowsky, Turner, Watkins (1992)]
- Electro weak baryogenesis [Kuzmin, Rubakov, Shaposhnikov (1985)]
- Chain inflation [Freese, Spolyar (2005)]



# de Sitter 時空とトンネリング

- ・宇宙の時空は曲がっているなので、重力がトンネリングに与える影響を考慮する必要がある。

- ・ de Sitter 時空：Minkowski 時空と同じ最大対称な時空

$$ds^2 = - dt^2 + e^{2Ht} dX^2$$

- 非自明な時空の中でも扱いやすい

- 得られた結果はインフレーション中の現象論に応用可能

- ・この2点を踏まえて de Sitter 時空中のトンネリングを論じることにする。

# 虚時間法とトンネリング

- de Sitter 時空中のトンネリングを記述する鞍点解として有名なものが2つある。
  - Coleman-de Luccia (CDL) インスタントン
  - Hawking-Moss (HM) インスタントン
- どちらも虚時間法で論じられるトンネリング。
- ただし、HM インスタントンは一様な解  $\phi = \phi_{top}$  なので、偽の真空から真の真空への遷移として解釈しにくい。
- 実時間形式で記述できれば、トンネリングとしての HM インスタントンの描像がはっきりする。

# 本研究の流れ

---

- Stochastic approach の導入
- Langevin 方程式の導出
- 経路積分形式を導入
- 鞍点近似でトンネル確率を評価する

# 目次

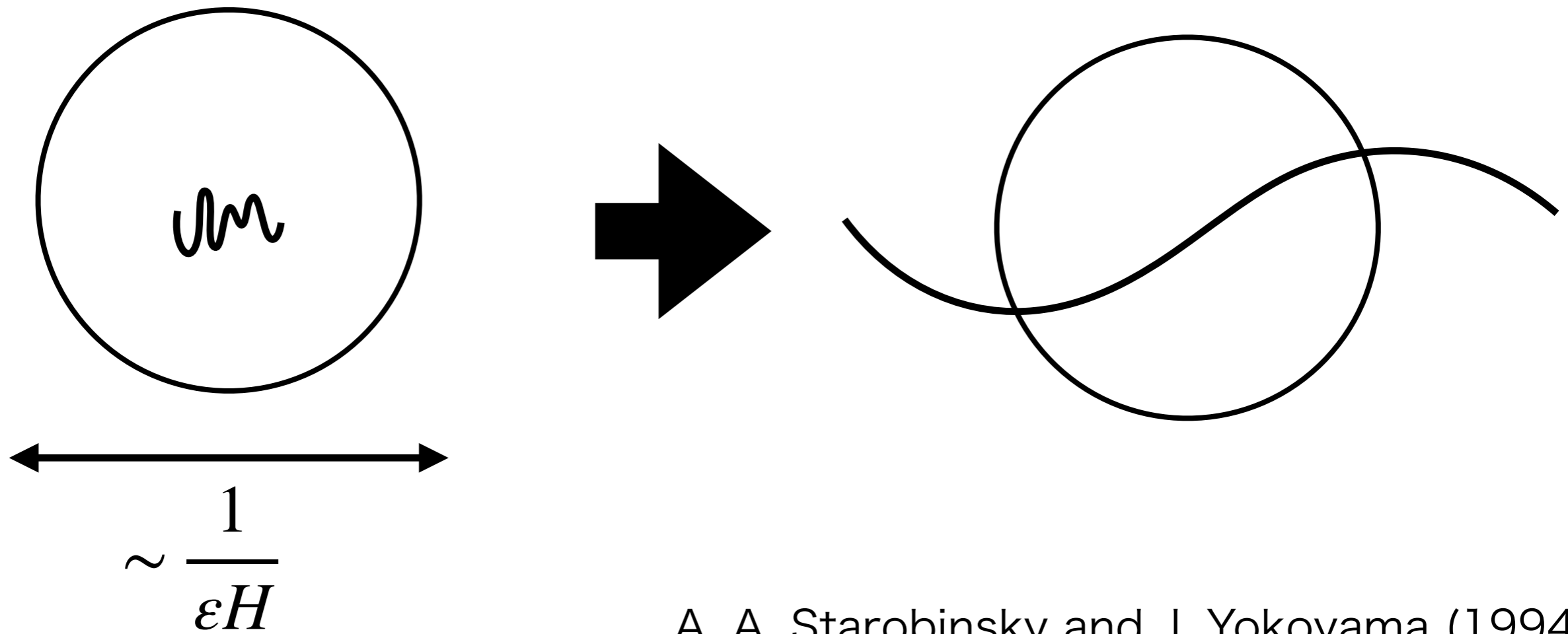
---

1. Motivation
2. Stochastic approach
3. Hawking-Moss tunneling
4. Coleman-de Lucia tunneling
5. Summary and future work



# Stochastic approach のアイデア

(量子的な) 短波長モードは宇宙の加速膨張に伴って引き伸ばされ、(古典的な) 長波長モードになる。



A. A. Starobinsky and J. Yokoyama (1994)

加速膨張中に伴って長波長モードに転化する寄与を、ノイズとして取り扱った上で、長波長モードのダイナミクスを追う。

# Langevin equation

- 場と共役運動量について、IR パートのダイナミクスのみ注目

$$\phi = \phi_{IR} + \phi_{UV}, \quad \Pi = \Pi_{IR} + \Pi_{UV}$$

- 簡単のため、空間一様性とslow-roll 近似を課した場合を考える
- Langevin equation (実質0+1次元の理論)

$$\dot{\phi}_{IR} = -\frac{1}{3H} V'(\phi_{IR}) + \xi^\phi \quad (\xi^\phi : \text{ノイズ})$$

- 各時刻でランダムな値を取るノイズは次のような統計性を持つ

$$\langle \xi^\phi(t) \rangle = 0, \quad \langle \xi^\phi(t) \xi^\phi(t') \rangle = \frac{H^3}{4\pi^2} \delta(t - t')$$

# 経路積分表示

- 実はLangevin 方程式と等価な経路積分表示がある  
(Martin-Siggia-Rose-Jansenn-de Dominicis functional integral)

$$p(\phi_c, t | \phi'_c, t') = \int_{\phi_c(t')=\phi'_c}^{\phi_c(t)=\phi_c} \mathcal{D}(\phi_c, \Pi_\Delta) \exp \left[ \int dt (\Pi_\Delta \dot{\phi}_c - H(\phi_c, \Pi_\Delta)) \right]$$

$$H(\phi_c, \Pi_\Delta) := -\frac{V'(\phi_c)}{3H} \Pi_\Delta - \frac{H^3}{8\pi^2} \Pi_\Delta^2 \quad (\text{赤字はノイズ項})$$

- $p(\phi_c, t | \phi'_c, t')$  は遷移確率
- $\phi'_c$  を偽の真空、 $\phi_c$  をトンネリング後の配位 (真の真空 or バブル) に指定することで、トンネル確率になる。

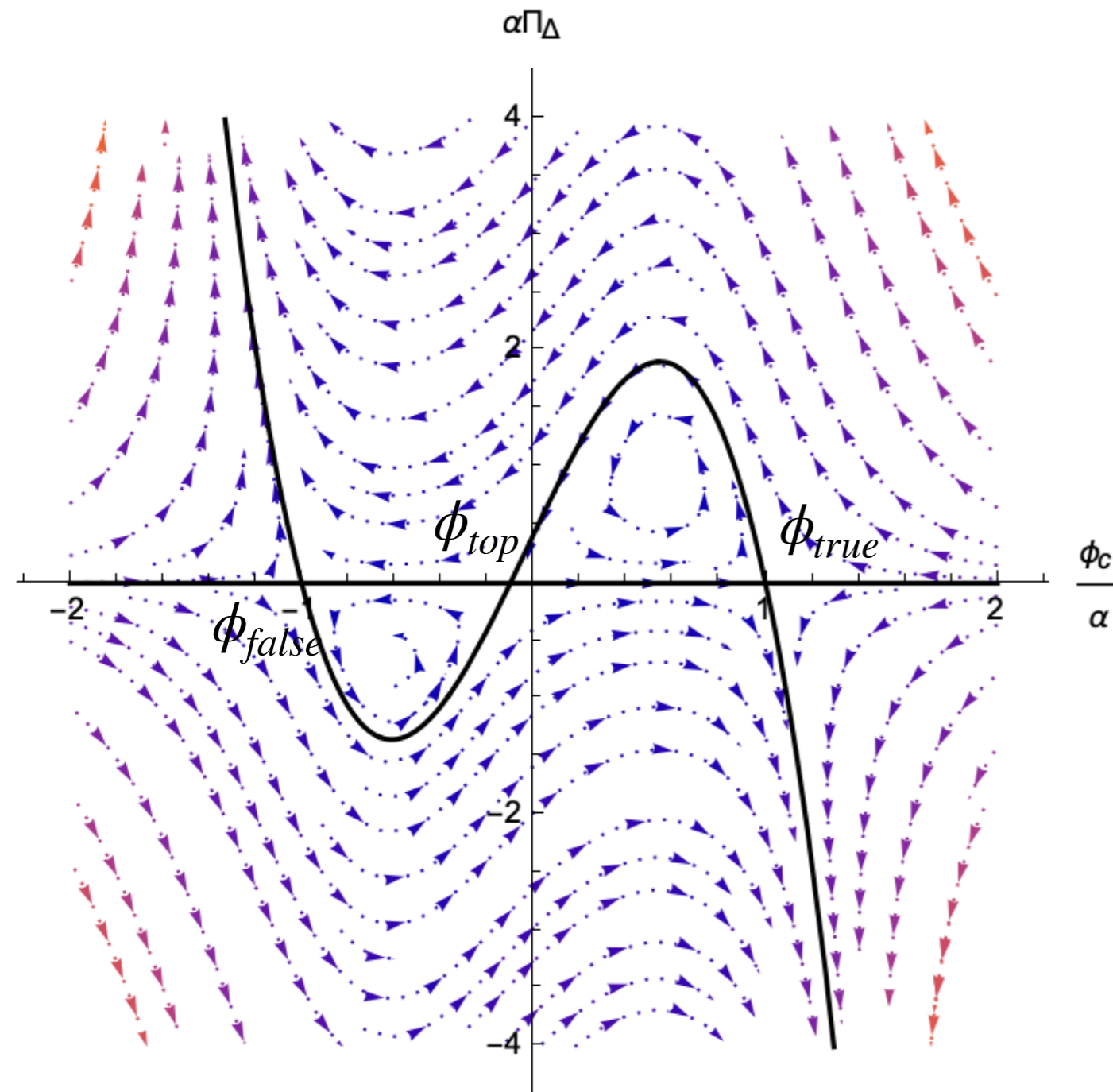
# 目次

---

1. Motivation
2. Stochastic approach
3. Hawking-Moss tunneling
4. Coleman-de Lucia tunneling
5. Summary and future work

# Hamilton flow

- 先ほどのハミルトニアンから得られる  $(\phi_c, \Pi_\Delta)$  上のflow



- ハミルトン運動方程式

$$\dot{\phi}_c = -\frac{V'(\phi_c)}{3H} - \frac{H^3}{4\pi^2}\Pi_\Delta$$

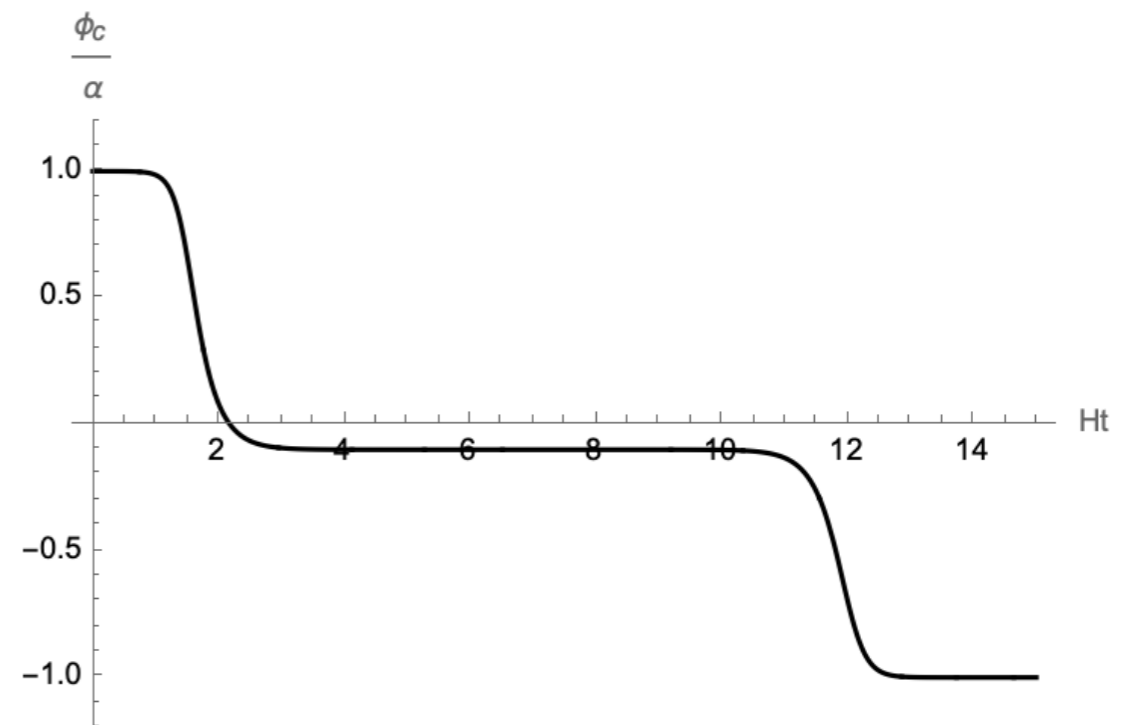
$$\dot{\Pi}_\Delta = \frac{V''(\phi_c)}{3H}\Pi_\Delta$$

- 黒線は  $H = 0$  に対応

- 偽の真空  $\phi_{false}$  から真の真空  $\phi_{true}$  へ至るflowが存在する。

# HM配位とトンネル確率

- ・先ほどの非自明な flow から右図の配位が得られる。
- ・この配位に対する作用はHMインスタントの結果と完全に一致する。



$$I = \int_{t'}^t dt \left[ \Pi_{\Delta} \dot{\phi}_c - H(\phi_c, \Pi_{\Delta}) \right] = -\frac{8\pi^2}{3H^4} \int_{t'}^{t^*} dt \dot{\phi}_c V'(\phi_c) = -\frac{8\pi^2}{3H^4} \Delta V$$

(非自明なflowの上では  $\Pi_{\Delta} = 0$ ,  $-\frac{8\pi^2}{3H^4} V'$  が満たされている)

# 目次

---

1. Motivation
2. Stochastic approach
3. Hawking-Moss tunneling
4. Coleman-de Lucia tunneling
5. Summary and future work

# 3+1次元の場合の定式化

- Langevin 方程式 (近似なし)

$$\dot{\phi}_{IR} = a^{-3}\Pi_{IR} + \xi^\phi, \quad \dot{\Pi}_{IR} = a\nabla^2\phi_{IR} - a^3V'(\phi_{IR}) + \xi^\Pi$$

$$\langle 0 | \xi^\alpha(t, \mathbf{x}) | 0 \rangle = 0, \quad (\alpha, \beta = \phi, \Pi),$$

$$\langle 0 | \xi^\alpha(t, \mathbf{x}) \xi^\beta(t', \mathbf{x}') | 0 \rangle = \frac{1}{2\pi^2} \dot{k}_c(t) k_c(t)^2 \frac{\sin(k_c(t)r)}{k_c(t)r} g^{\alpha\beta}(t) \delta(t - t')$$

- 対応する経路積分形式

$$p(\phi_c(\mathbf{X}), t | \phi'_c(\mathbf{X}), t') = \int_{\phi_c(t', \mathbf{X}) = \phi'_c(\mathbf{X})}^{\phi_c(t, \mathbf{X}) = \phi_c(\mathbf{X})} \mathcal{D}(\phi_c, \Pi_c, \phi_\Delta, \Pi_\Delta) \exp \left[ \int d^4x \left( \Pi_\Delta \dot{\phi}_c - \phi_\Delta \dot{\Pi}_c - H(\phi_c, \Pi_c, \phi_\Delta, \Pi_\Delta) \right) \right]$$

$$H(\phi_c, \Pi_c, \phi_\Delta, \Pi_\Delta) = \frac{\Pi_c \Pi_\Delta}{a^3} - (a\nabla^2\phi_c - a^3V'(\phi_c))\phi_\Delta - \frac{1}{2} \sum_{\alpha, \beta} \int d^4x' X_\alpha(x) G^{\alpha\beta}(x, x') X_\beta(x')$$

$$G^{\alpha\beta}(x, x') = \langle 0 | \xi^\alpha(x) \xi^\beta(x') | 0 \rangle \quad (\text{赤字はノイズ項})$$



# ノイズ項とカットオフスケール

- IR と UV を分けるカットオフ  $k_c(t) = \varepsilon a(t)H$
- この時の  $g^{\alpha\beta}$  (in Bunch-Davies vacuum)

$$\begin{cases} g^{\phi\phi} = \frac{H^2\eta^2}{2k_c} \left( \frac{1}{k_c^2\eta^2} + 1 \right) = \frac{1}{2Ha^3} \left( \varepsilon^{-3} + \varepsilon^{-1} \right) \\ g^{\Pi\Pi} = \frac{k_c}{2H^2\eta^2} = \frac{Ha^3}{2}\varepsilon \\ g^{\phi\Pi} = g^{\Pi\phi^*} = \frac{1}{2} \left( \frac{1}{k_c\eta} + i \right) = -\frac{1}{2}\varepsilon^{-1} + \frac{i}{2} \end{cases}$$

- $\varepsilon \ll 1$  (super horizon) の時、 $G^{\phi\phi}$  が支配的  
→ HM インスタントンの結果も再現する
- $\varepsilon \gg 1$  (sub horizon) の時、 $G^{\Pi\Pi}$  が支配的  
→ この時、CDL トンネルリングが支配的になっている

# 経路積分形式 (CDL ver)

- 経路積分形式

$$p \simeq \int \mathcal{D}(\Pi_c, \phi_\Delta) \exp \left[ \int d^4x \left( -\phi_\Delta \dot{\Pi}_c - H_{CDL}(\Pi_c, \phi_\Delta) \right) \right]$$

$$H_{CDL}(\Pi_c, \phi_\Delta) = - \left( a \nabla^2 \phi_c[\Pi_c] - a^3 V'(\phi_c[\Pi_c]) \right) \phi_\Delta - \frac{1}{2} \int d^4x' \phi_\Delta(x) G^{\Pi\Pi}(x, x') \phi_\Delta(x')$$

- non-local term を局所化して近似する

$$-\frac{1}{2} \int d^4x' \phi_\Delta(x) G^{\Pi\Pi}(x, x') \phi_\Delta(x') \simeq -\frac{H^2 \varepsilon}{6\pi} a^3 \phi_\Delta^2(x)$$

$$H_{CDL}(\Pi_c, \phi_\Delta) \simeq - \left( a \nabla^2 \phi_c[\Pi_c] - a^3 V'(\phi_c[\Pi_c]) \right) \phi_\Delta - \frac{H^2 \varepsilon}{6\pi} a^3 \phi_\Delta^2$$

# CDL 配位

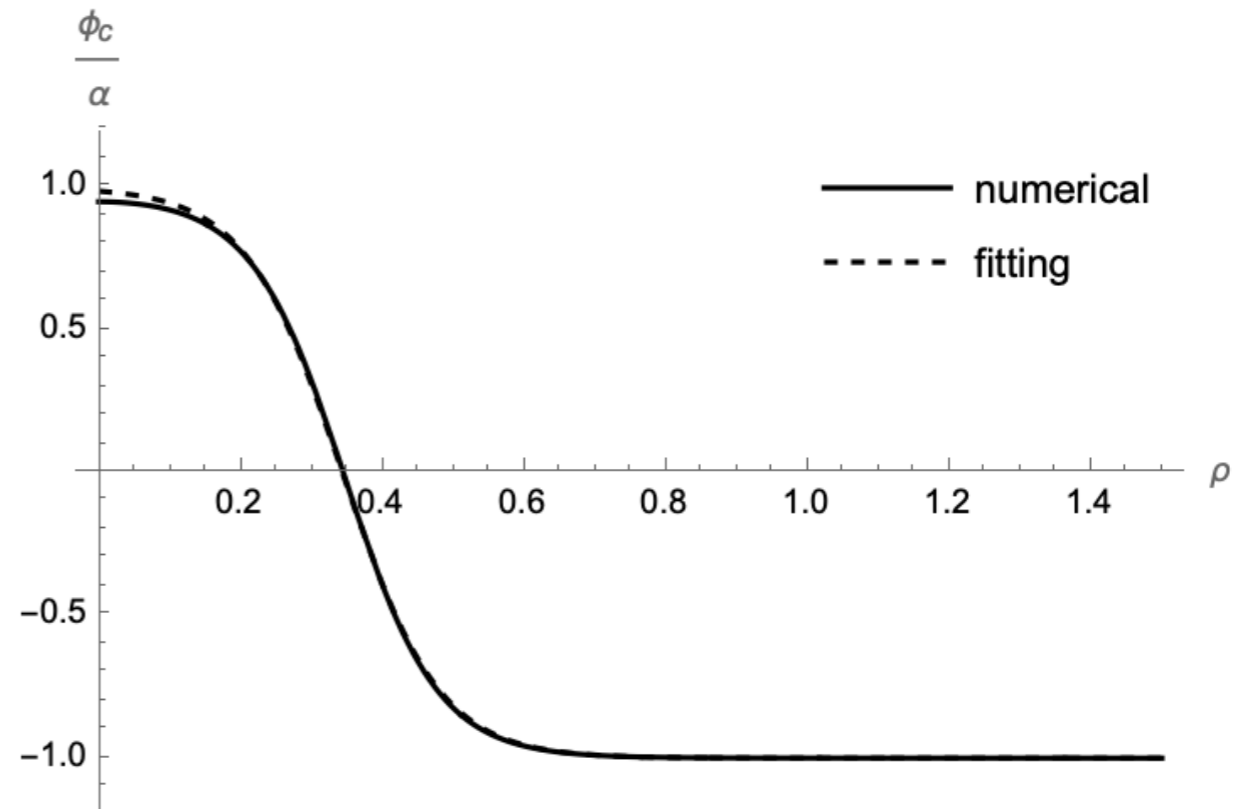
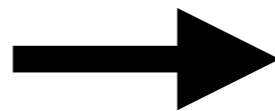
- $H=0$ を満たす非自明な軌道上の運動方程式

$$\ddot{\phi}_c + 3H\dot{\phi}_c = V'(\phi_c) - a^{-2}\nabla^2\phi_c, \quad (\phi_\Delta \neq 0)$$

- 実は Euclidean AdS 時空上の Klein-Gordon 方程式なので、 $O(4)$  対称性を課して解くことができる。

$$\frac{\partial^2\phi}{\partial\rho^2} + \frac{3}{\tanh\rho} \frac{\partial\phi}{\partial\rho} = \frac{V'(\phi_c)}{H^2}$$

$$\lim_{\rho \rightarrow \infty} \phi_c = \phi_{false}, \quad \left. \frac{d\phi_c}{d\rho} \right|_{\rho=0} = 0$$



# CDL トンネル確率

- この配位に対する作用を計算する

$$I \simeq \int_{\Sigma} d^4x \left[ -\phi_{\Delta} \dot{\Pi}_c - H_{CDL}(\Pi_c, \phi_{\Delta}) \right] := -\frac{24\pi^2\alpha^2}{H^2\varepsilon} \tilde{I}(\mu, \bar{\rho})$$

- 計算の結果、HM トンネリングより確率が大きいポテンシャルパラメータとカットオフスケール  $\varepsilon$  が確認できた
- CDL インスタントンとの関係はまだ不明 (future work)

注)  $\varepsilon$  はUV パートでポテンシャルを線形近似した関係で上限がついている

# 目次

---

1. Motivation
2. Stochastic approach
3. Hawking-Moss tunneling
4. Coleman-de Lucia tunneling
5. Summary and future work

# Summary

- Stochastic approach に経路積分形式を導入し、トンネル確率を定式化した。
- Hawking-Moss インスタントンの結果を再現する自然な配位を見つけた
- Coleman-de Luccia インスタントンの配位を見つけ、トンネル確率を計算し、HM よりも大きくなるパラメータを確認した

# Future work

- Euclidean method との関係
- 他のreal-time formalismとの関係 (ex: Lefschetz thimble method, 初期量子ゆらぎの時間発展)
- 他の散逸やノイズがある系に応用できるか (ex: Warm inflation)

**ご清聴ありがとうございました**



**Back up**

# Decay rate in QM

量子力学の場合、トンネリングの確率はWKB法を用いて次のように評価できる。

$$P_{decay} \sim \exp \left[ -\frac{2}{\hbar} \int_0^a dx \sqrt{2V(x)} \right]$$

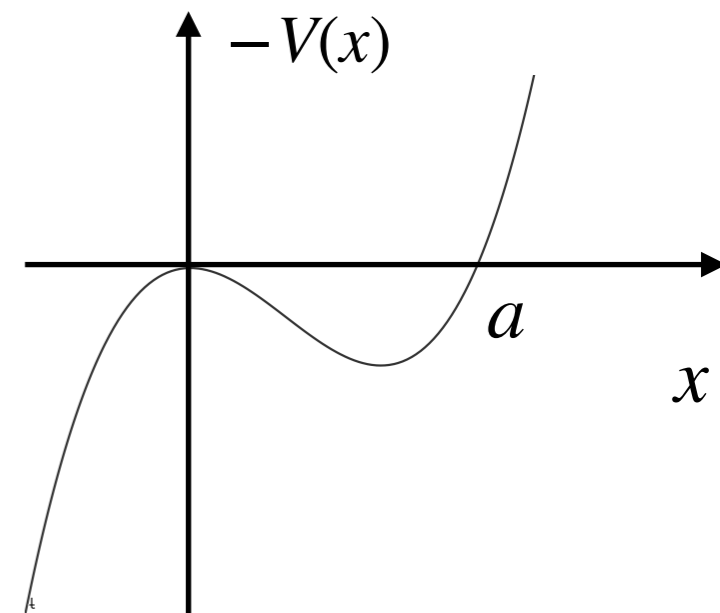
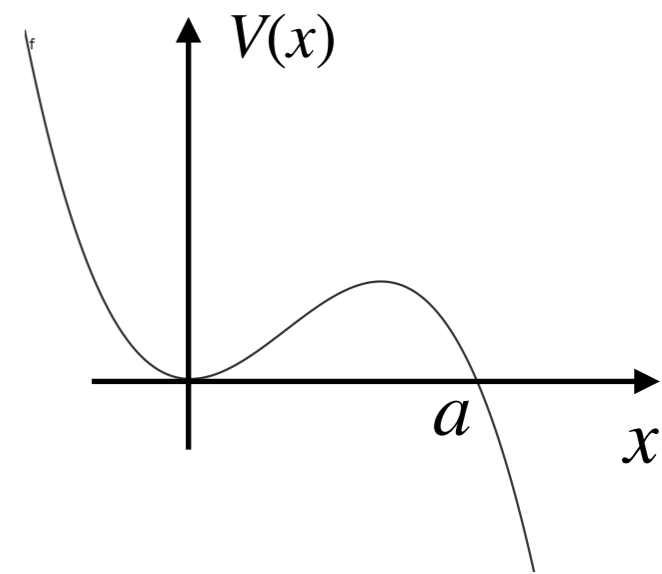
虚時間  $t = -i\tau$  を導入して変形すると

$$P_{decay} \sim \exp \left[ -\frac{1}{\hbar} \int_{-\infty}^{\infty} d\tau \left( \frac{\dot{x}(\tau)^2}{2} + V(x) \right) \right] := \exp \left( -\frac{S_E[x]}{\hbar} \right)$$

ここで  $S_E$  はユークリッド作用。

軌道  $x(\tau)$  は次の境界条件を満たす。

$$x(\tau = \pm \infty) = 0, \quad x(\tau = 0) = a$$



# Decay rate in QFT (Flat spacetime)<sup>27</sup>

この形式を場の量子論へ拡張すると

$$P_{decay} \sim \exp(-S_E[\phi])$$

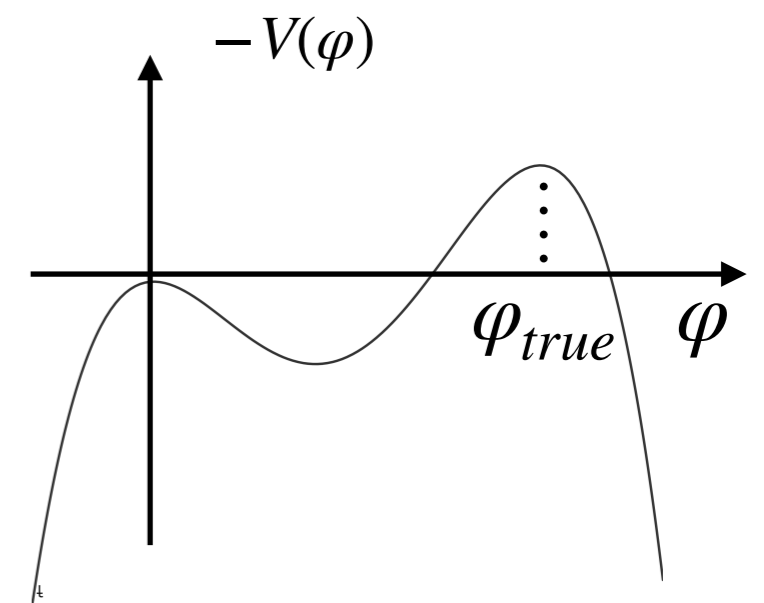
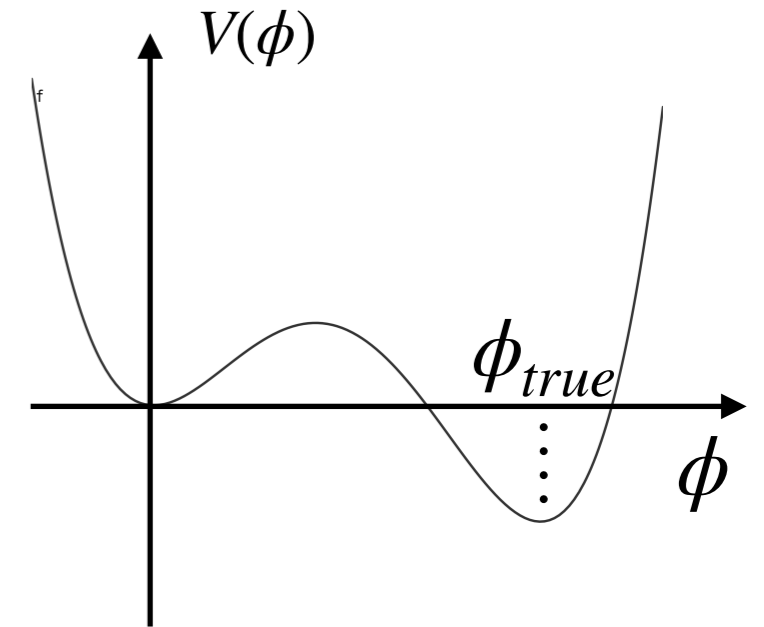
ここでユークリッド作用は

$$S_E = \int d^2x \left[ \frac{1}{2} \partial^\mu \phi \partial_\nu \phi + V(\phi) \right]$$

スカラー場 $\phi$ が満たす境界条件は

$$\begin{cases} \phi(\tau, \vec{x}) \Big|_{|\vec{x}|=\infty} = 0, & \phi(\tau, \vec{x}) \Big|_{\tau=\pm\infty} = 0 \\ \frac{d\phi(0, x)}{d\tau} = 0 \end{cases}$$

この境界条件を満たすようなスカラー場の配位は**バウンス**と呼ばれている。



# Hawking-Moss インスタントン

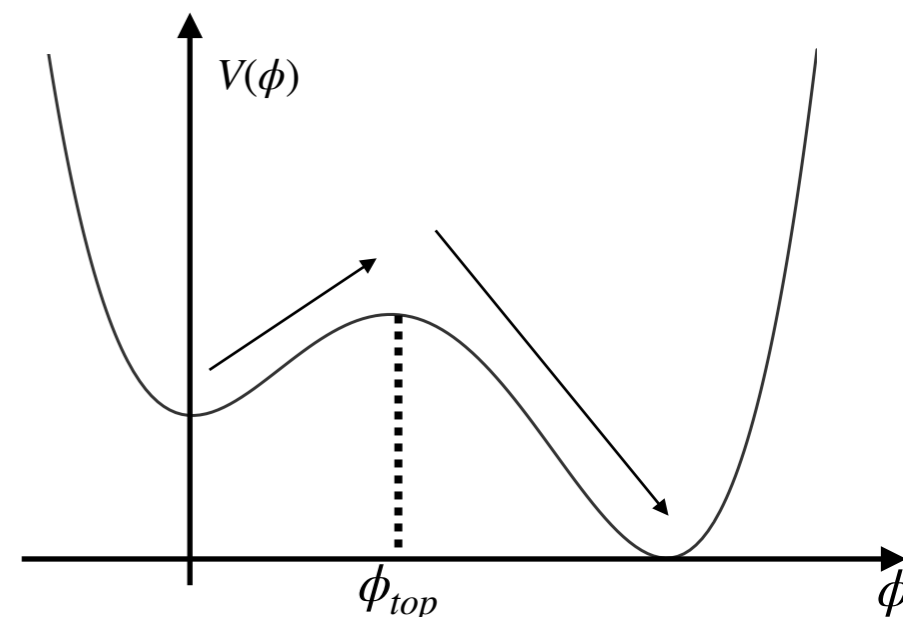
- Klein-Gordon 方程式 (in Euclidean de Sitter spacetime)

$$\partial_\tau^2 \phi + 3 \frac{a'}{a} \partial_\tau \phi + \frac{1}{a^2} \nabla^2 \phi - \frac{\partial V}{\partial \phi} = 0$$

- Hawking-Moss インスタントン

$$\phi = \phi_{top} (= \text{const.})$$

- 真空崩壊率



$$\Gamma \sim \exp \left[ - \frac{8\pi^2}{3H^4} \left( V(\phi_{top}) - V(0) \right) \right] = \exp \left[ - \underbrace{\left( \frac{H}{2\pi} \right)^{-1}}_{\text{de Sitter 温度}} \underbrace{\frac{4\pi}{3H^3}}_{\text{Hubble 体積}} \underbrace{\left( V(\phi_{top}) - V(0) \right)}_{\text{エネルギー密度}} \right]$$

# Langevin equationの導出

Klein-Gordon 方程式 (in de Sitter spacetime)

$$\partial_t^2 \phi + 3H \partial_t \phi - \frac{1}{a^2} \nabla^2 \phi + \frac{\partial V}{\partial \phi} = 0$$

場と共役運動量をIRとUVのパートに分ける。

$$\begin{aligned}\hat{\phi} &= \phi_{IR} + \hat{\phi}_{UV} \\ \hat{\pi} &= \pi_{IR} + \hat{\pi}_{UV}\end{aligned}$$

$\hat{\phi}_{UV}$  は次のようなモード展開をしている。(  $k_c = \epsilon a(t)H$  )

$$\hat{\phi}_{UV} = \int \frac{d^3 k}{(2\pi)^3} \theta(k - k_c) [\hat{a}_k \phi_k(t) e^{ik \cdot x} + \hat{a}_k^\dagger \phi_k^*(t) e^{-ik \cdot x}]$$

$$\hat{\pi}_{UV} = \int \frac{d^3 k}{(2\pi)^3} \theta(k - k_c) [\hat{a}_k \dot{\phi}_k(t) e^{ik \cdot x} + \hat{a}_k^\dagger \dot{\phi}_k^*(t) e^{-ik \cdot x}]$$

# Langevin equationの導出

また、モード関数 $\phi_k(t)$ は次をみます。

$$\partial_t^2 \phi_k + 3H \partial_t \phi_k + \frac{k^2}{a^2} \phi_k + \frac{\partial^2 V(\phi_{IR})}{\partial \phi^2} \phi_k = 0$$

この時、Klein-Gordon方程式は次のようになる。

$$\dot{\phi}_{IR} = a^{-3} \pi_{IR} + \xi^\phi$$

$$\dot{\pi}_{IR} = a \nabla^2 \phi_{IR} - a^3 \frac{\partial V}{\partial \phi} + \xi^\pi$$

ここで、 $\xi^\phi, \xi^\pi$  はUVパートからくる量子的なノイズ

$$\xi^\phi = \dot{k}_c \int \frac{d^3 k}{(2\pi)^3} \delta(k - k_c) [\hat{a}_k \phi_k(t) e^{ik \cdot x} + \hat{a}_k^\dagger \phi_k^*(t) e^{-ik \cdot x}]$$

$$\xi^\pi = \dot{k}_c \int \frac{d^3 k}{(2\pi)^3} \delta(k - k_c) [\hat{a}_k \dot{\phi}_k(t) e^{ik \cdot x} + \hat{a}_k^\dagger \dot{\phi}_k^*(t) e^{-ik \cdot x}]$$

# Langevin equationの導出

Bunch-Davis真空を仮定する。

$$a_k |0\rangle_{BD} = 0, \quad \forall k$$

$$\phi_k \propto e^{-ik\eta}, \quad k|\eta| \gg 1, \quad (\eta \text{は共形時間})$$

さらに、

- 一様等方性 ( $\nabla\phi = 0$ )
- late-time limit ( $k|\eta| \ll 1 \Rightarrow \xi^\pi \sim 0$ )
- slow-roll近似 ( $\dot{\phi}^2 \ll 2V$ ,  $|\ddot{\phi}| \ll 3H\dot{\phi}$ )

を課すと、最終的に次の表式が得られる。